Prof. Gabriela W. Gabriel
Instituto Tecnológico de Aeronáutica
IEE-S / ITA - Sala 195 - Ramal 5991
ggabriel@ita.br / gabriela.gabriel@gp.ita.br
www.ele.ita.br/~ggabriel

São José dos Campos, 27/12/2024.

### EES22 CONTROLE CLÁSSICO I

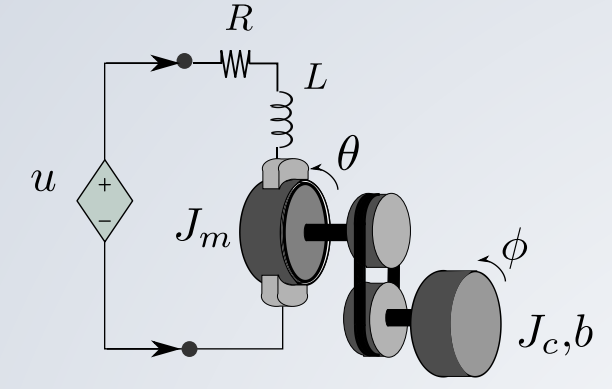
Critério de Routh-Hurwitz. Controladores PID. Projeto de Controladores PID. Ziegler-Nichols.



#### **ASSUNTOS**

- Critério de estabilidade de Routh-Hurwitz (Revisitado)
- Controladores PID
- Projeto de controladores PID
- Sintonia de PID utilizando Ziegler-Nichols

■ Seja o sistema de um motor de corrente contínua (exemplo adaptado do Livro de Geromel e Korogui, 2011) representado por



■ c é uma constante que relaciona os raios das polias conectadas à carga e ao motor. ■ Parte elétrica:

$$L\frac{di}{dt} + Ri = u - K\frac{d\theta}{dt}$$

em que há um acoplamento com a parte mecânica através da velocidade angular do rotor

Parte mecânica

$$(J_c + J_m c^2) \frac{d^2 \phi}{dt^2} + b \frac{d\phi}{dt} = cKi$$

em que há um acoplamento mecânico através da corrente que circula no motor.



- $\blacksquare$  K é uma constante de proporcionalidade, R e L são respectivamente os valores da resistência e indutância do circuito elétrico do motor.
- No domínio da frequência

$$(Ls + R)I(s) + cK\Phi(s)s = U(s)$$
$$[(J_c + J_m c^2)s + b]\Phi(s)s = cKI(s)$$

■ Chamando  $\Phi(s)s = W(s)$  a velocidade angular da carga e eliminando a corrente das duas equações

$$G(s) = \frac{W(s)}{U(s)} \frac{cK}{[(I_c + I_m c^2)s + b](Ls + R) + c^2 K^2}$$



A equação característica do sistema do motor é dada por

$$[(J_c + J_m c^2)s + b](Ls + R) + c^2 K^2 = 0$$

- Sendo todos os coeficientes positivos, o sistema dinâmico em estudo é sempre ASSINTOTICAMENTE ESTÁVEL, para quaisquer valores dos seus parâmetros.
- O valor de w(t) regime permanente para uma entrada degrau  $u(t) = \mathcal{L}^{-1}\{U(s)\} = \mathcal{L}^{-1}\{U/s\}$  (tensão aplicada ao motor) qualquer é dado por

$$w_{\infty} = \lim_{t \to \infty} w(t) = \lim_{s \to 0} sW(s) = \frac{cK}{Rb + c^2K^2}U$$

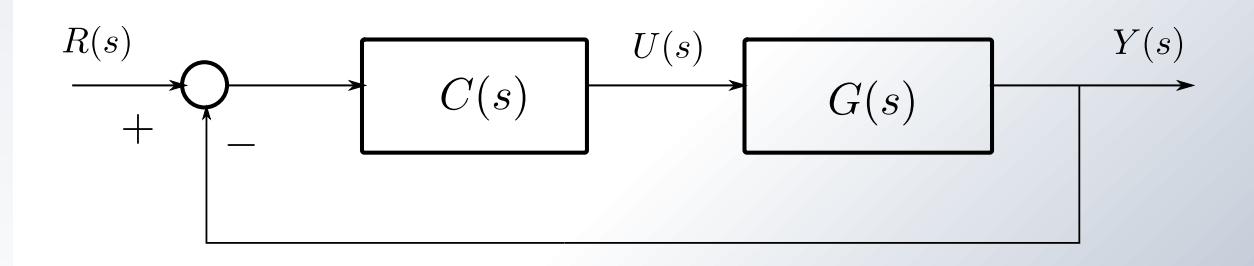


Para um modelo de motor específico obtemos o seguinte modelo em TF

$$G(s) = \frac{1}{14s^2 + 15s + 2}$$

■ Aplicando-se uma estrutura de controle padrão do tipo

 $\blacksquare$  Sendo Y(s) = W(s) e  $C(s) = K_p$ 





■ Tem-se que a função de transferência de MF é

$$F(s) = \frac{Y(s)}{R(s)} = \frac{C(s)G(s)}{1 + C(s)G(s)}$$

e, portanto,

$$F(s) = \frac{K_p}{14s^2 + 15s + (2 + K_p)}$$

Neste caso, teremos que

$$\omega_n = \sqrt{\frac{2+K_p}{14}}, \quad e \quad \xi^2 = \frac{225/4}{28+14K_p}$$

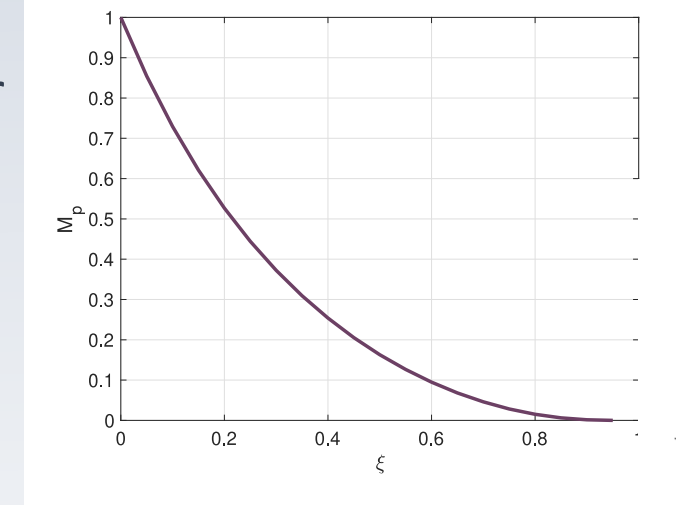
■ Novamente, para  $M_p \leq 0.1$ , devemos ter

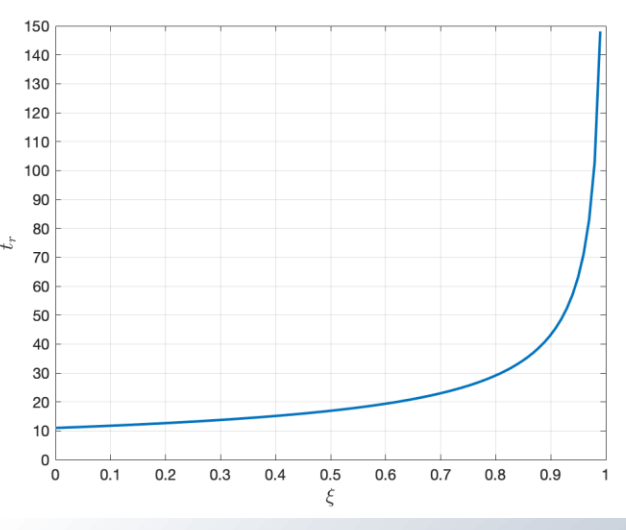
$$\xi \ge 0.6 \implies K_p \le 9,16 \quad (K_p = 9)$$

■ Vamos avaliar outros parâmetros deste projeto

$$t_r = \frac{\pi - a\cos \xi}{\omega_n \sqrt{1 - \xi^2}} = 3,14 \text{ [s]}$$

$$t_{s2\%} = \frac{4}{\xi \omega_n} = 7,47 [s]$$





Para um dado  $\omega_n$ , o valor dos tempos de acomodação e de subida aumentam com  $\xi$ .



A resposta em regime permanente para uma referência degrau será

$$y_{\infty} = \lim_{s \to 0} s \frac{K_p}{s(14s^2 + 15s + (2 + K_p))} = \frac{K_p}{2 + K_p} = 0.82$$

Alguma escolha de  $K_p$  reduziria o erro em regime? E o que ocorreria com o sobressinal?

- Como garantir erro em regime nulo?
- ■Neste caso, é preciso tornar o sistema de Tipo 1, ou seja, com um polo em zero. Isso implica em adotarmos na estrutura anterior um controlador do tipo Integrador:

$$C(s) = \frac{K_i}{s}$$

Assim,

$$F(s) = \frac{K_i}{s(14s^2 + 15s + 2) + K_i}$$

Neste caso, desde que o sistema resultante seja estável, teremos

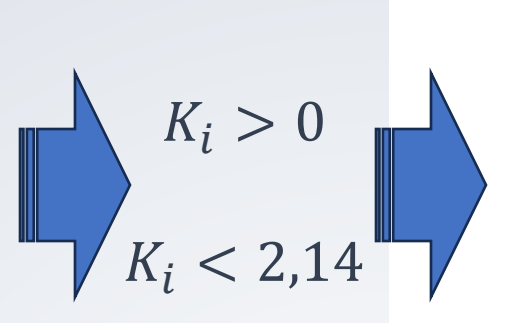
$$y_{\infty} = \lim_{s \to 0} s \frac{K_i}{s(14s^2 + 15s + 2) + K_i} = 1$$

Como projetar  $K_i$ ?

Como garantir a estabilidade?

Utilizando o critério de RH: 
$$F(s) = \frac{K_i}{s(14s^2 + 15s + 2) + K_i}$$

$$\begin{vmatrix}
 s^3 & 14 & 2 \\
 s^2 & 15 & K_i \\
 s & 30 - 14K_i \\
 1 & Ki$$



\*\* 
$$S_{i}^{3}$$
 | 14 | 2 |  $S_{i}^{2}$  | 15 |  $K_{i}$  |  $K_{i} > 0$  |  $K_{i} = 2 \implies F_{a}(s) = \frac{0,13}{s^{2} + 0,008s + 0,13}$  |  $t_{s} = \frac{4}{0,004} = 1000 [s]$  |  $K_{i} < 2,14$  |  $K_{i} < 2,14$  |  $K_{i} < 2,14$  |  $K_{i} = 0,05 \implies F_{a}(s) = \frac{0,03}{s + 0,03}$  |  $t_{s} = \frac{4}{0,03} \approx 133 [s]$ 

$$K_i = 0.05 \implies F_a(s) = \frac{0.03}{s + 0.03}$$

$$t_s = \frac{4}{0.03} \approx 133 [s]$$



### CRITÉRIO DE ESTABILIDADE DE ROUTH-HURWITZ

- O critério de Routh-Hurwitz é baseado na construção da tabela de Routh.
- A quantidade de polos no SPD corresponde ao número de inversões de sinal na primeira coluna.
- Casos especiais de elemento nulo devem ser avaliados
  - Linha inteira se anula: a linha anterior da tabela é divisor do polinômio original.
  - Apenas um elemento se anula: substitui-se  $0 \to \delta$  e procede-se com a tabela. A análise final é realizada fazendo o limite de  $\delta \to 0$ .

### CRITÉRIO DE ESTABILIDADE DE ROUTH-HURWITZ

■ Dados os sistemas em malha fechada, verificar a estabilidade do sistema e, caso seja instável, quantos polos encontram-se no SPD do plano complexo.

$$F(s) = \frac{s+3}{s^3 + 4s^2 + 5s + 2}$$

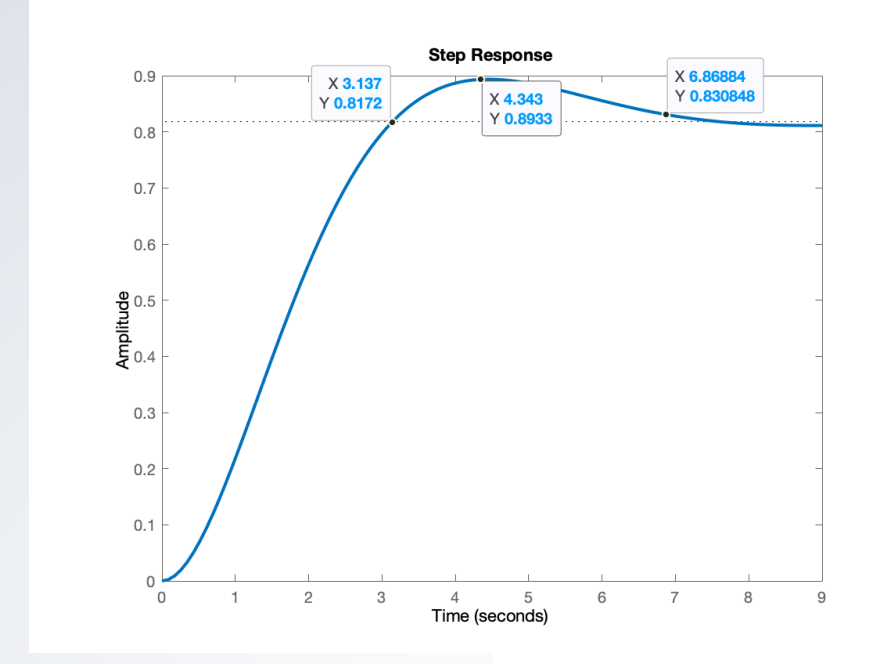
$$F(s) = \frac{1}{s^4 + 3s^3 + 3s^2 + 3s + 2}$$

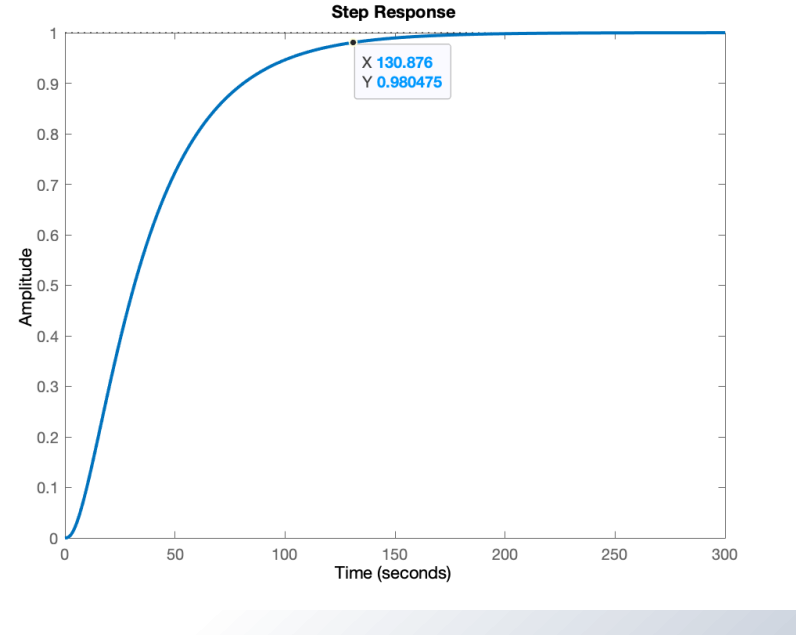
$$F(s) = \frac{8}{s^3 + s^2 + 2s + 8}$$

Resolução (Quadro Negro)



- Os projetos de controle para o motor CC
  - Controlador proporcional
  - Controlador integral



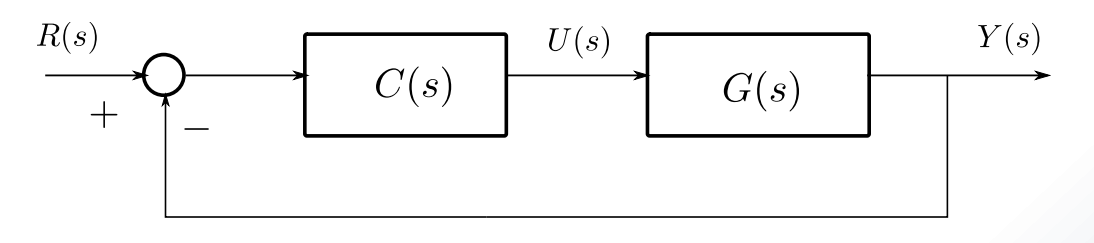


$$C(s) = 0.05/s$$



Considerando um controlador PI (2 parâmetros):

$$F(s) = \frac{K_p s + K_i}{s(14s^2 + 15s + 2) + K_p s + K_i}$$



O critério de Routh-Hurwitz leva a

$$s^{3}$$
 $14$ 
 $2 + K_{p}$ 
 $s^{2}$ 
 $15$ 
 $K_{i}$ 
 $s$ 
 $\frac{30+15K_{p}-14K_{i}}{15}$ 
 $1$ 
 $K_{i}$ 



$$K_i > 0$$

$$K_p > \frac{14}{15}K_i - 2$$



$$K_i = 1$$

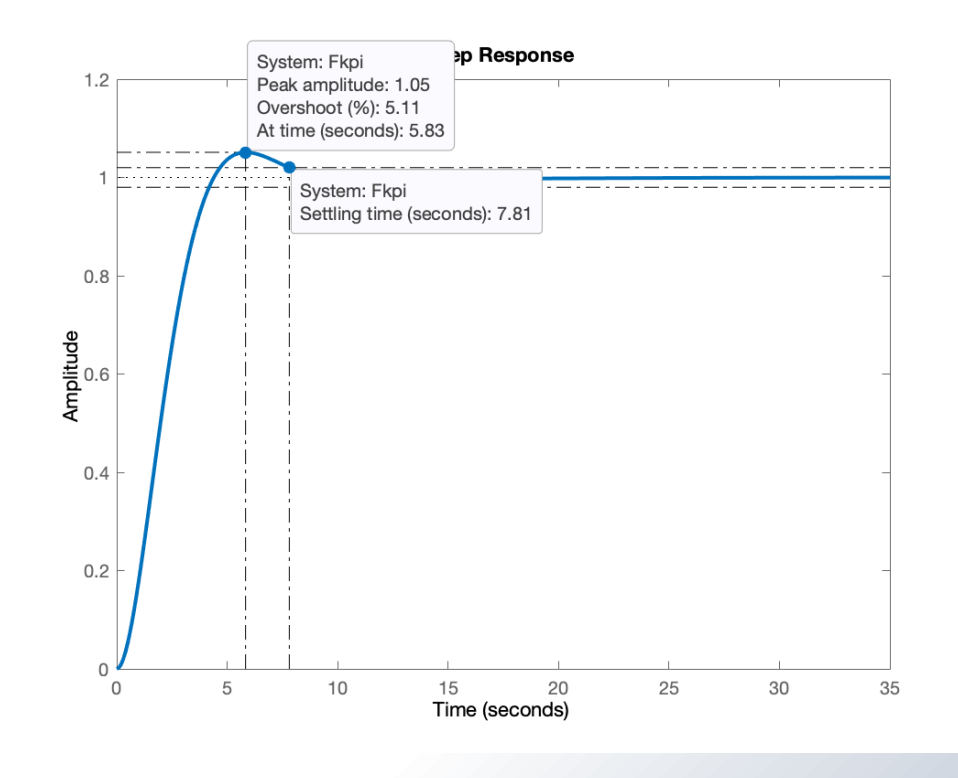
$$K_p = 7$$

$$F(s) = \frac{7s+1}{s}$$

Ajuste Manual – pode ser bastante demorado!



- $\blacksquare$  Para a escolha de  $K_p$ =7 e  $K_i$ =1
  - Estrutura de um controlador PI.
  - É possível atingir os requisitos desejados!
  - Como arbitrar os melhores valores para os parâmetros?





Podemos igualar a equação característica a um polinômio desejado através de uma alocação de polos considerando os REQUISITOS DESEJADOS (método algébrico).

$$\Delta_T(s) = (s+p)(s^2 + 2\xi\omega_n s + \omega_n^2) = s\left(s^2 + \frac{15}{14}s + \frac{2}{14}\right) + \frac{K_p}{14}s + \frac{K_i}{14}$$

Neste caso,

$$p + 2\xi\omega_n = \frac{15}{14}$$

$$p + 2\xi \omega_n = \frac{15}{14}$$

$$2\xi \omega_n p + \omega_n^2 = \frac{2}{14} + \frac{K_p}{14}$$

$$p\omega_n^2 = \frac{K_i}{14}$$



#### Boas escolhas:

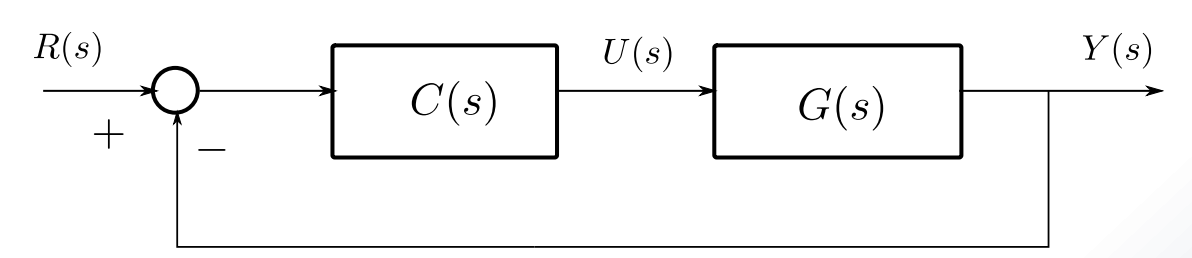
- Cancelar polos indesejados (CUIDADO!)
- Alocar o terceiro polo afastado da origem (CUIDADO!)



### PROJETO DE CONTROLE PARA MOTOR CC

(Revisitado)

Considere agora um controlador do tipo PID



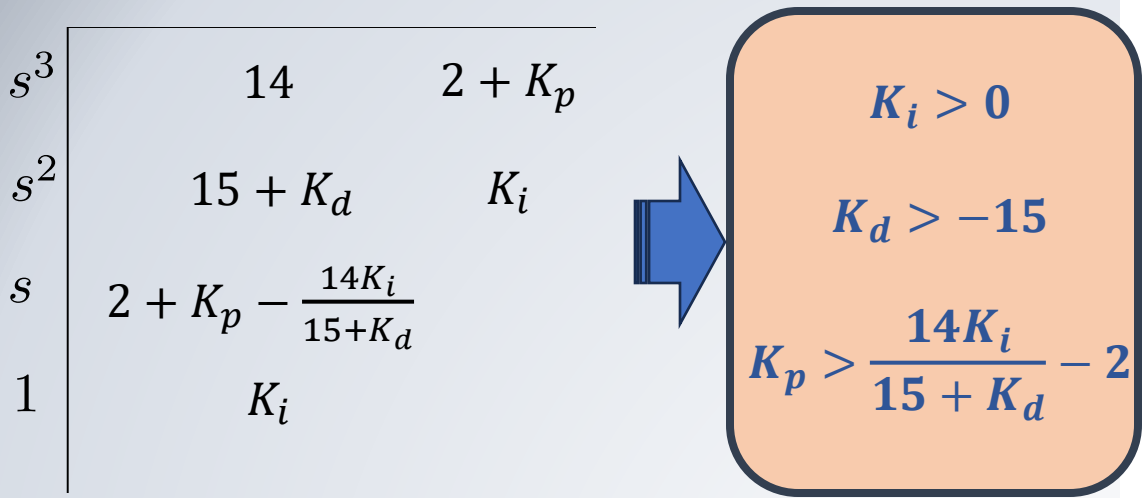
$$C(s) = K_p + \frac{K_i}{s} + K_d s$$

A função de transferência de malha fechada (estrutura padrão) é

$$F(s) = \frac{K_d s^2 + K_p s + K_i}{14s^3 + (15 + K_d)s^2 + (2 + K_p)s + K_i}$$

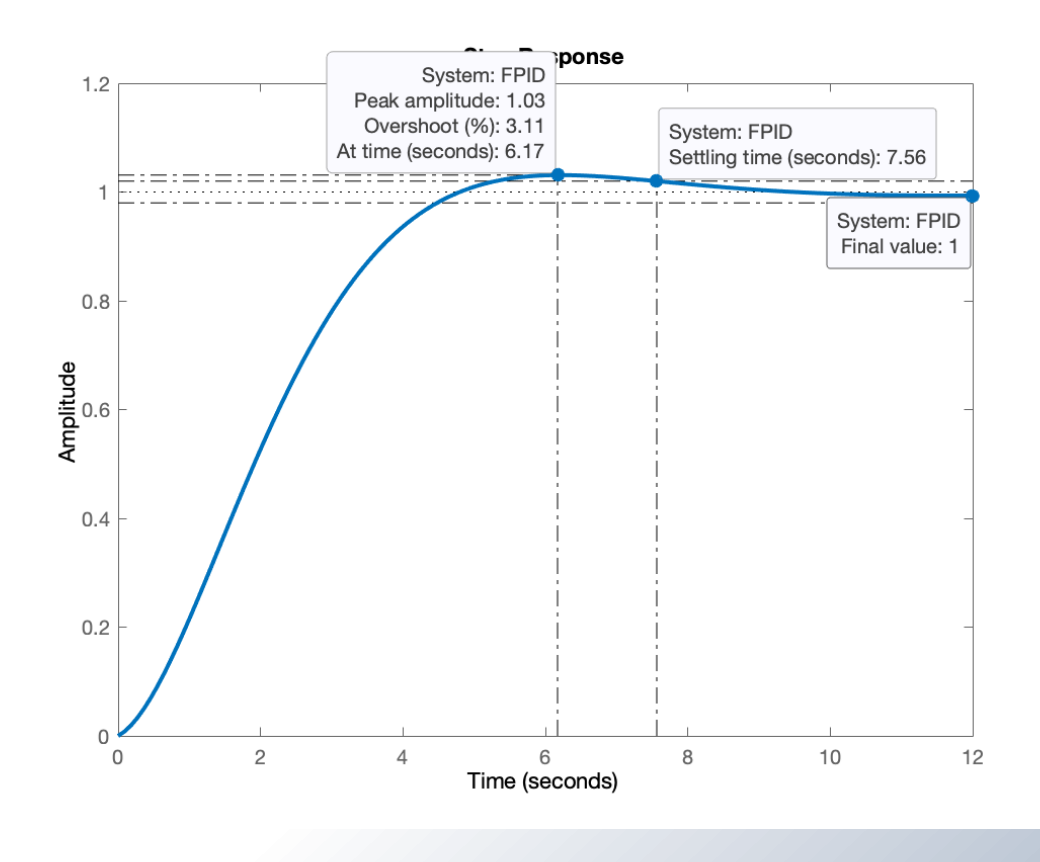
Analise de estabilidade no caso do motor CC

Região de Estabilidade do Sistema Realimentado!



Ajuste Manual – pode ser bastante demorado!

$$K_p = 7$$
,  $K_i = 1$ ,  $K_d = 1$ 





### **CONTROLADORES PID**

- Este tipo de estrutura é bastante útil na indústria, em geral:
- **Controlador Proporcional (P):**  $C(s) = K_p$ 
  - São de fácil implementação.
- **Controlador Proporcional- Integral (PI):**  $C(s) = K_p + K_i/s$ 
  - Reduzem o erro em regime;
  - Tornam o sistema robusto a perturbações de baixa frequência;
  - Aumentam o tempo de estabilização.
- Controlador Proporcional-Derivativo (PD):  $C(s) = K_p + K_d s / (Ts + 1)$ 
  - Suaviza variações bruscas no sinal de erro;
  - Aumentam o erro em regime;
  - Reduzem o tempo de estabilização.

Melhora o regime transitório

Melhora o regime permanente



#### **CONTROLADORES PID**

Controladores de 3 termos (Proporcional-Integral-Derivativo), têm sua FT na forma

$$C(s) = \frac{U(s)}{E(s)} = K_p + \frac{K_i}{s} + K_d s = \frac{K_d s^2 + K_p s + K_i}{s}$$

- ■Esta FT é NÃO-CAUSAL e, portanto, **NÃO-REALIZÁVEL!!!!!!**
- **■**Uma simples correção, torna-a causal e realizável!

$$C(s) = \frac{U(s)}{E(s)} = K_p + \frac{K_i}{s} + \frac{K_d s}{T s + 1}, \qquad T > 0, \qquad T \downarrow \downarrow$$

■Há várias formas de sintonizar controladores PID (além da alocação de polos). Duas delas serão vistas mais adiante.



#### PROJETO DE CONTROLADORES PID

Estrutura realizável do controlador PID

$$C(s) = \frac{K_D s^2 + K_P s + K_I}{s(s+\alpha)}$$

ou 
$$C(s) = K_p + \frac{K_i}{s} + \frac{K_d s}{T s + 1}$$

em que  $|\alpha| \gg |Re\{\lambda_i\}|$ ,  $\lambda_i$  cada um dos polos de MF, ou  $|T| \ll \frac{1}{|Re\{\lambda_i\}|}$ .  $\{\alpha, T\} > 0$ .

 $\blacksquare \alpha$  (ou 1/T) é um polo afastado de F(s).

#### PROJETO DE CONTROLADORES PID

#### Estrutura dos controladores PID

$$U(s) = \left[\frac{K_p + K_d s + \frac{K_i}{s}}{\right] E(s)$$

$$u(t) = K_p e(t) + K_i \int_0^t e(\tau) d\tau + K_d \frac{d}{dt} e(t)$$

$$u(t) = K_p \left( e(t) + \frac{1}{T_i} \int_0^t e(\tau) d\tau + T_d \frac{d}{dt} e(t) \right)$$

 $K_p$  - ganho proporcional

 $K_i$  - ganho integral

 $K_d$  - ganho derivativo

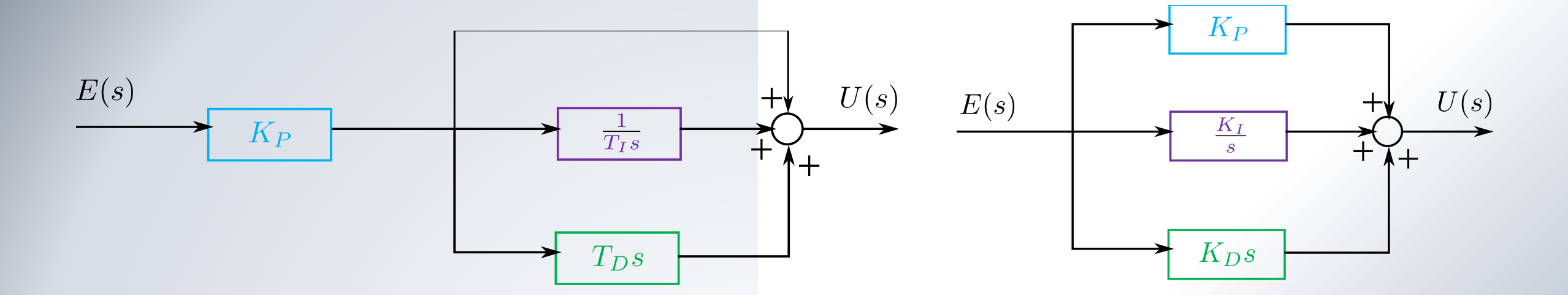
 $T_i$  - tempo integral

 $T_d$  - tempo derivativo



### **CONTROLADORES PID**

Possíveis estruturas para os controladores PID



## SINTONIA DE PID UTILIZANDO ALOCAÇÃO DE POLOS

- $\blacksquare$  O ajuste dos três termos  $(K_p, K_i, K_d)$  pode ser realizada utilizando o método algébrico.
- Para estas estruturas pode-se trabalhar com até 3 especificações de projeto.
- Exemplo: Projete um controlador PID para que a planta  $G(s) = \frac{1}{(s+1)(s+3)}$  siga um degrau unitário com erro nulo e tenha  $(M_P = 16.3\% \rightarrow \xi = 0.5)$  e  $(\omega_n = 2rad/s \rightarrow t_r = 1.2 s)$ .

Vamos adotar uma malha de controle padrão e  $C(s) = \frac{K_d s^2 + K_p s + K_i}{s(s+\alpha)}$ . Neste caso temos **5** incógnitas  $(K_p, K_i, K_d, p_1, p_2)$  e **4** equações.



### SINTONIA DE PID UTILIZANDO ALOCAÇÃO DE POLOS

 $\blacksquare$  Vamos arbitrar  $\alpha = 100$ . Assim,

$$(K_d s^2 + K_p s + K_i) + s(s+100)(s^2 + 3s + 2) = (s+p_1)(s+p_2)(s^2 + 1,2s + 1,44)$$

o que gera as equações:

$$103 = 1,2 + p_1 + p_2 \rightarrow p_1 + p_2 = 101,8$$

$$K_d + 302 = 1,2(p_1 + p_2) + p_1p_2$$

$$K_p + 200 = 1,44(p_1 + p_2) + 1,2p_1p_2$$

$$K_i = 1,44p_1p_2$$

Arbitrando 
$$K_i = 360 \rightarrow K_d = 70,16$$
;  $K_p = 246,592 \rightarrow C(s) = \frac{70,16s^2 + 246,592s + 360}{s(s+100)}$ 

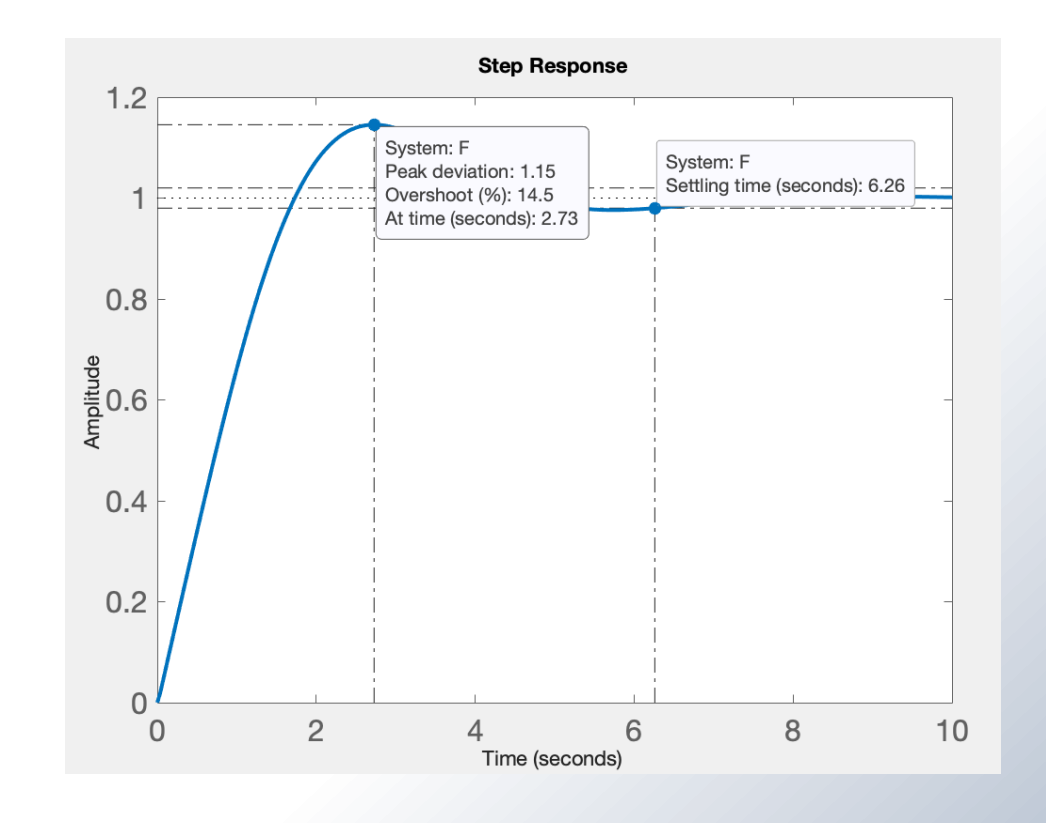


## SINTONIA DE PID UTILIZANDO ALOCAÇÃO DE POLOS

O controlador projetado é

$$C(s) = \frac{70,16s^2 + 246,592s + 360}{s(s+100)}$$

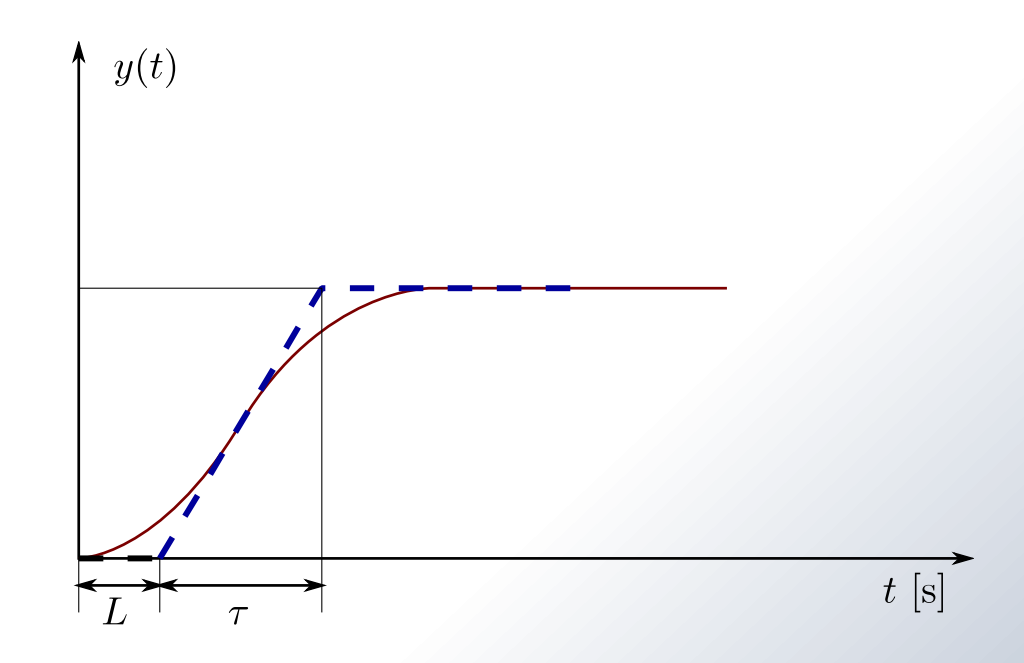
- Porque os requisitos não foram alcançados?
- **É** necessário realizar ajustes!!!
- Sugestões para um projeto melhor?





- Método procedural de sintonia de controladores do tipo PID.
- ■Embora este método, ou variações melhoradas, não garantam que os requisitos sejam atendidos, a facilidade do ajuste deu visibilidade na indústria para os controladores de 3 termos.
- $\blacksquare$  Os parâmetros  $K_p$ ,  $K_i$ ,  $K_d$  são determinados em função das características da dinâmica do processo.

- Método baseado na resposta ao degrau do processo em MA.
  - Aplica-se um degrau unitário no processo e verificase a saída do sistema.
  - Aplicado a sistemas BIBO estáveis (sem polos na origem) sem polos complexo conjugados.
  - Deve-se obter os parâmetros L e  $\tau$  a partir da máxima inclinação da resposta ao degrau. L corresponde ao atraso no tempo.  $\tau$  corresponde à constante de tempo de 0-100%.



$$\frac{Y(s)}{U(s)} = \frac{Ke^{-Ls}}{\tau s + 1}$$



■ Método baseado na resposta ao degrau:

CONTROLADOR	$K_{P}$	$K_I$	$K_D$
Р	au/L		
PI	$0.9\tau/L$	L/3	
PID	$1,2\tau/L$	2L	L/2

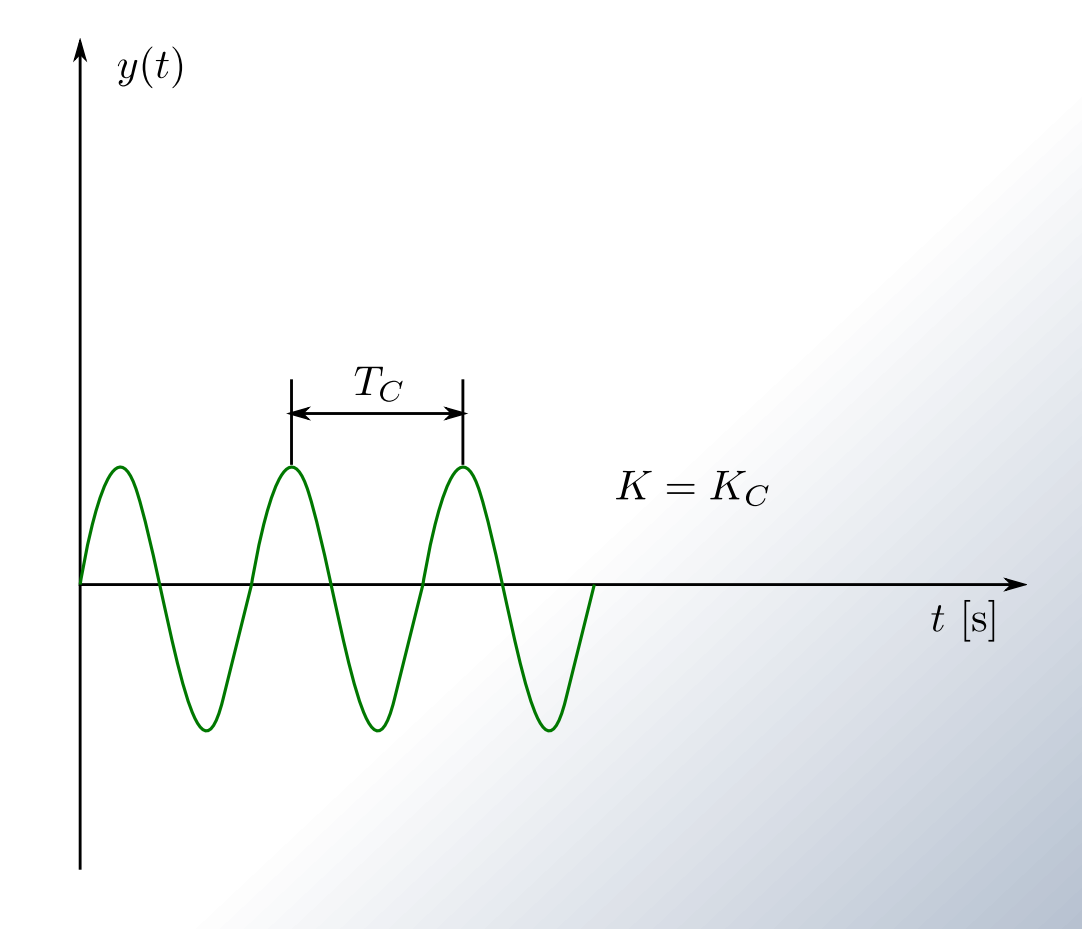
■Deve-se ter em mente que estes valores correspondem ao projeto inicial do controlador pretendido.

### SINTONIA DE PID UTILIZANDO COHEN-COON

 $\blacksquare$  Para o mesmo ensaio degrau, e parâmetros L e au, obtém-se os termos do PID segundo

CONTROLADOR	$K_{P}$	$T_I$	$T_D$
P	$\frac{\tau}{L} + \frac{1}{3}$		
PI	$0.9\frac{\tau}{L} + \frac{1}{12}$	$3L\frac{\left(10 + \frac{L}{\tau}\right)}{9 + \frac{20L}{\tau}}$	
PD	$1,25\frac{\tau}{L} + \frac{1}{6}$		$2L\frac{3-\frac{L}{\tau}}{11+2\frac{L}{\tau}}$
PID	$\frac{3}{4}\frac{\tau}{L} + \frac{1}{4}$	$L\frac{32+6\frac{L}{\tau}}{13+8L/\tau}$	$4L\frac{1}{11+2\frac{L}{\tau}}$

- Método baseado na resposta oscilatória do sistema.
  - Aplica-se um degrau na entrada do sistema em MALHA FECHADA com um controlador PROPORCIONAL. Deve-se variar K<sub>P</sub> até que a resposta seja oscilatória com amplitude constante.
  - Deve-se obter os parâmetros  $K_C$  correspondente ao ganho que gerou a resposta oscilatória e  $T_C$  o período de oscilação.





■ Método baseado na resposta oscilatória do sistema:

CONTROLADOR	$K_P$	$K_{I}$	$K_D$
P	0,5 <i>K</i> <sub>C</sub>		
PI	$0,45K_{C}$	$T_C/1,2$	
PID	0,6 <i>K</i> <sub>C</sub>	0,5 <i>T<sub>C</sub></i>	$0,125T_{C}$

■ Novamente, deve-se ter em mente que estes valores correspondem ao projeto inicial do controlador pretendido.

#### EXEMPLO DE SINTONIA DE PID

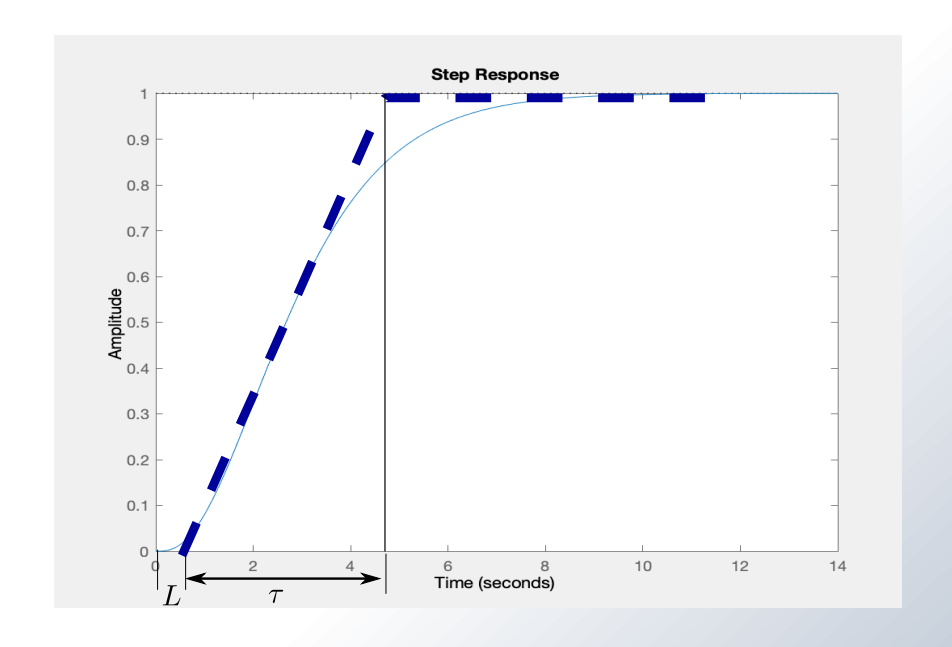
#### Para o processo

$$G(s) = \frac{1}{(s+1)^3}$$

Teremos os valores de L=0.5 e  $\tau\approx 4$ .

$$C_{ZN}(s) = \frac{0,25s^2 + 9,6s + 1}{s(s+10)}$$

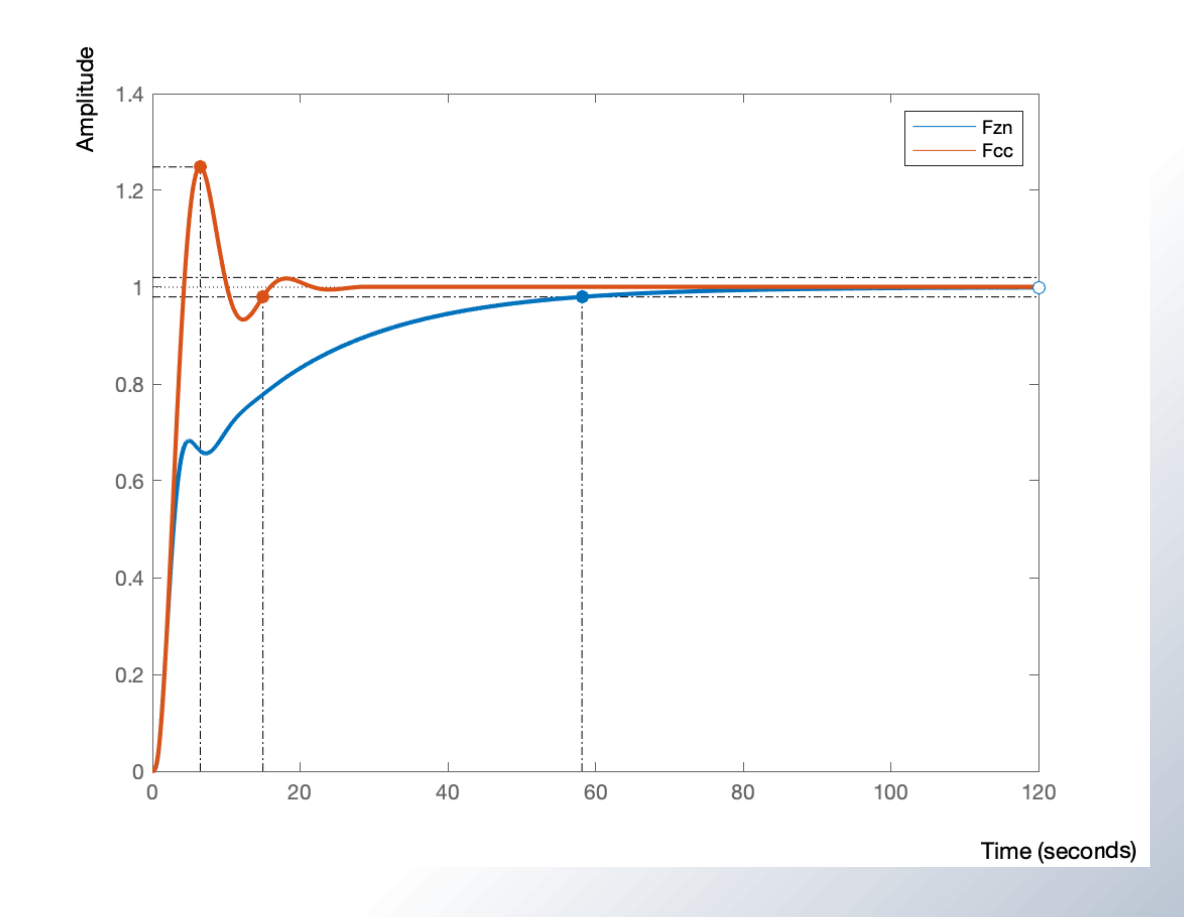
$$C_{CC}(s) = \frac{1,11s^2 + 6,25s + 5,34}{s(s+10)}$$





### EXEMPLO DE SINTONIA DE PID

■ Para o sistema considerado as respostas em malha fechada são apresentadas ao lado.



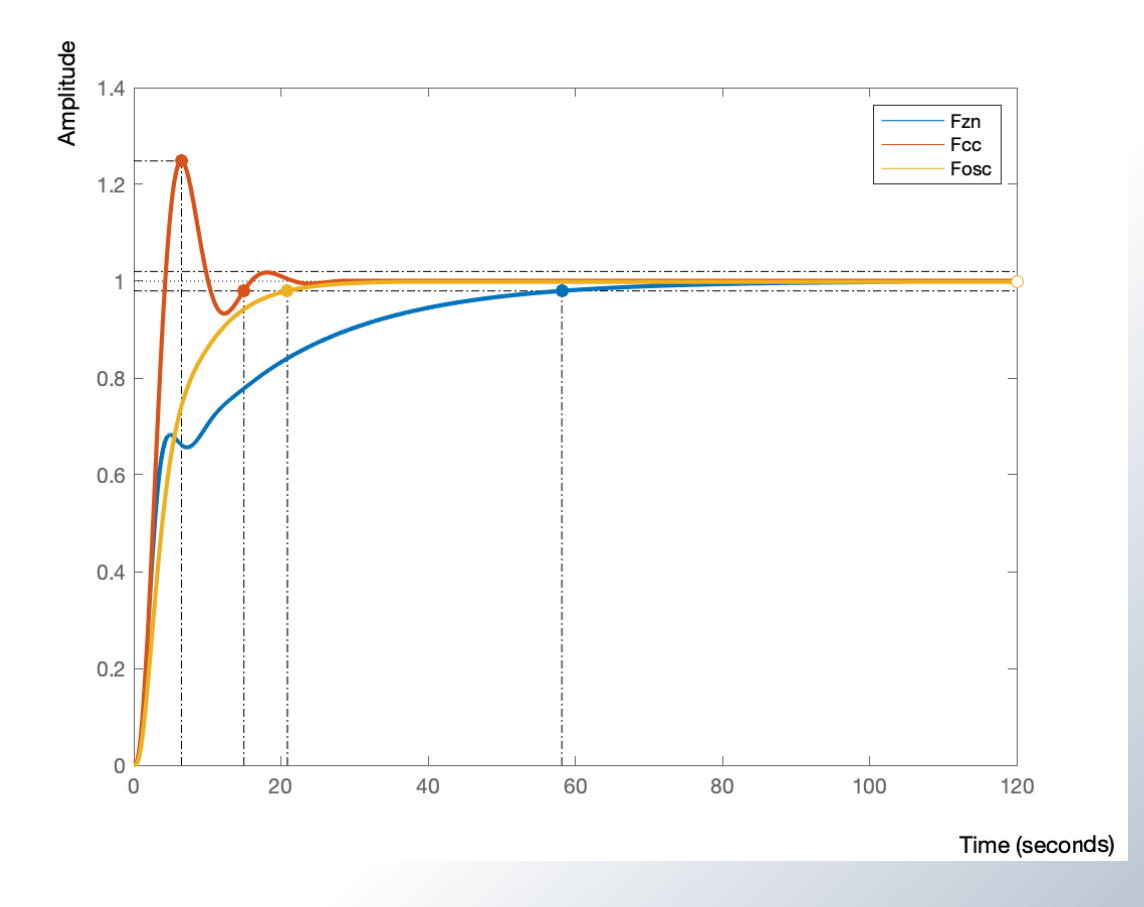


#### EXEMPLO DE SINTONIA DE PID

■ Para o caso da resposta oscilatória, devemos considerar o sistema realimentado e controlado por um único ganho.

$$K_c = 8; T_c = 3,63$$

$$C_{osc} = \frac{1,11s^2 + 4,8s + 0,45}{s(s+10)}$$





#### **CONTROLADORES PID**

Controladores PID

**■** Controladores P

**■** Controladores PI

**■ Controladores PD** 

**■** Controladores PID

FÁCIL IMPLEMENTAÇÃO

Tornam o sistema ROBUSTO A PERTURBAÇÕES DE BAIXA FREQUENCIA

**REDUZEM o ERRO em regime** 

**AUMENTAM O TEMPO de estabilização** 

**SUAVIZAM VARIAÇÕES BRUSCAS no sinal de erro** 

REDUZEM O TEMPO de estabilização

**AUMENTAM o ERRO em regime** 

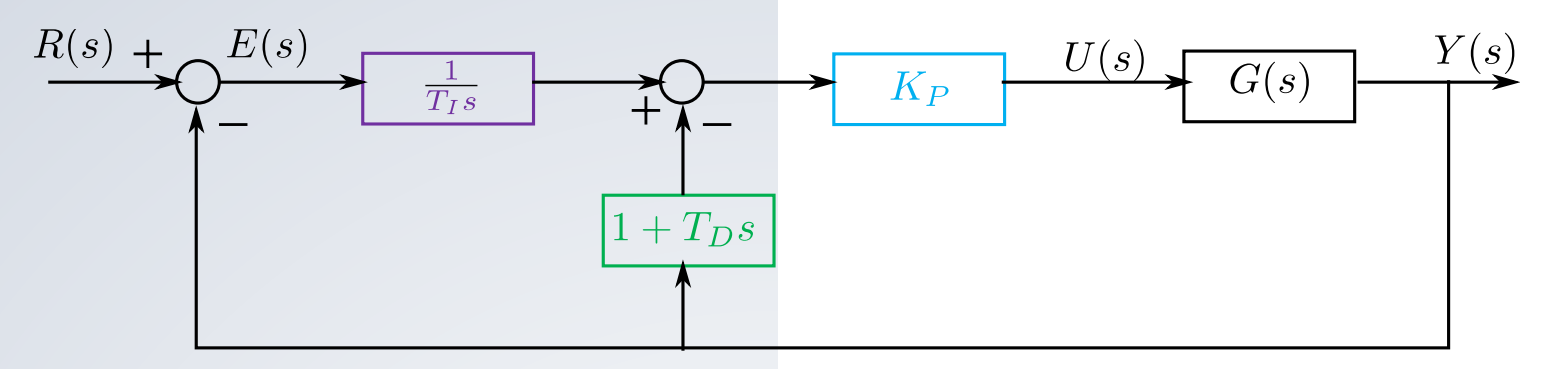
SINTONIA NÃO TRIVIAL com métodos de tentativa e erro

REDUZEM O ERRO em regime, SUAVIZANDO variações bruscas



#### **CONTROLADORES PID**

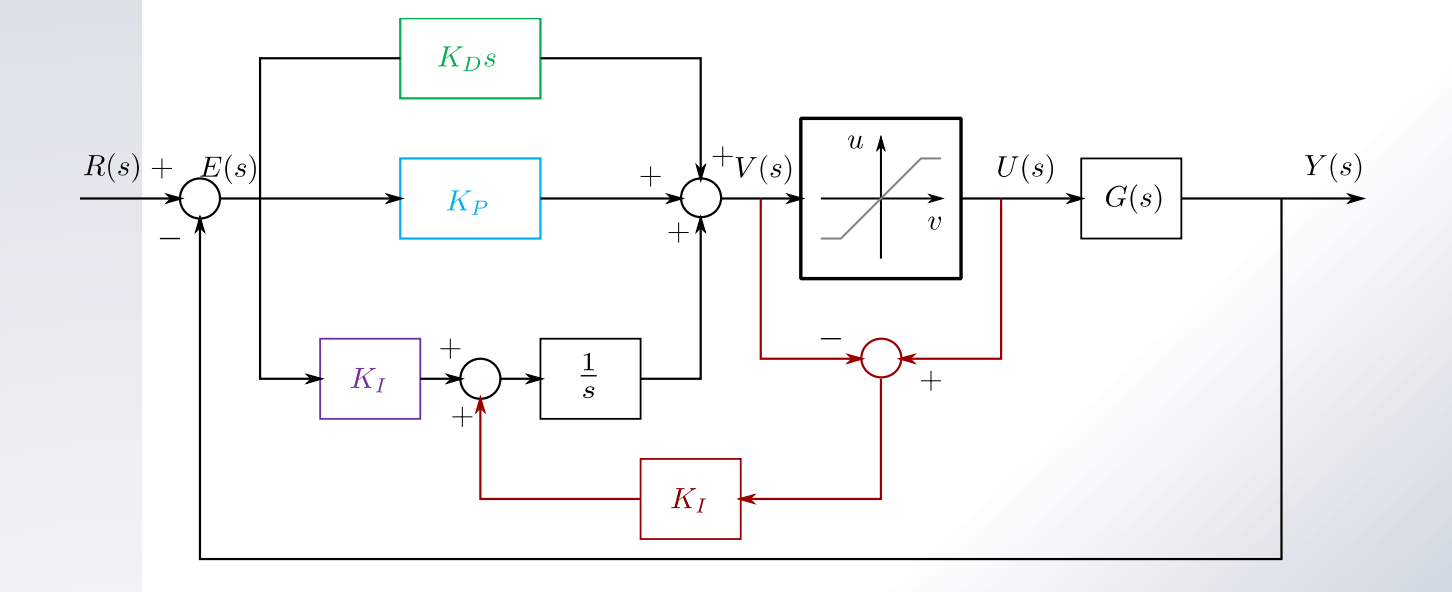
Para sinais de referência com variações bruscas, adota-se a estrutura



$$\frac{Y(s)}{U(s)} = \frac{1}{1 + T_I s + T_I T_D s^2} \frac{K_P \left(1 + \frac{1}{T_I s} + T_D s\right) G(s)}{1 + K_P \left(1 + \frac{1}{T_I s} + T_D s\right) G(s)}$$
PRÉ-FILTRO

#### **ANTI-WINDUP**

- Integradores na malha de controle podem provocar saturação do atuador caso exista erro residual no sinal de erro por longos períodos.
- Este potencial problema é conhecido como *windup*, que pode ser eliminado
  - utilizando-se um sinal adicional na entrada do integrador ou
  - interrompendo a ação integral quando o controlador atinge o limiar de saturação.





#### MATERIAL ADICIONAL

#### ■ Leituras:

- Leitura Complementar 03 (Tipos de Controladores)
- Leitura Complementar 06 (Critério de estabilidade de Routh-Hurwitz)

#### ■ Vídeos:

■ 03: Estabilidade de Sistemas Dinâmicos

■ 04: Critério de Routh-Hurwitz

## PRÓXIMA AULA

■ Lugar geométrico das raízes